

GRC 제조용 내알칼리성 지르코니아계 고분자 젤섬유에 관한 연구

신대용 · 한상목 · 김경남 · 강위수

강원대학교 재료공학과

(1994년 6월 22일 접수)

Study on the Polymer Gel Fiber of Alkali Resistance Zirconia System for GRC

Dae-Yong Shin, Sang-Mok Han, Kyung-Nam Kim and Wie-Soo Kang

Department of Materials Engineering, Kangwon National University

(Received June 22, 1994)

요약

$\text{Si}(\text{OC}_2\text{H}_5)_4$ 와 $\text{Zr}(\text{O}-n\text{C}_3\text{H}_7)_4$ 의 기수분해와 중합반응을 이용하여 $\text{ZrO}_2-\text{SiO}_2$ 조성의 유리섬유를 제조하였다. 소량의 물(the mole ratio $\text{H}_2\text{O}/\text{alkoxide}$, $r \leq 2$)과 HCl촉매의 사용시 1~100 poise의 점도 범위에서 젤섬유의 인상이 가능하였으며, 얇어진 젤섬유를 800°C 까지 열처리하여 유리화하였다. 20 ZrO_2 -80 SiO_2 유리섬유로 강화한 시멘트 혼합시편의 폭강도 같은 E 및 A 유리섬유로 강화한 혼합시편의 폭강도 값에 비하여 향상되었으며, 20 ZrO_2 -80 SiO_2 유리는 알칼리 용액에 대한 내식성이 우수하여 2N-NaOH 용액에서 25°C, 160시간 경과 후 $0.31 \times 10^{-2} \text{ mg/dm}^2$ 의 용출을 보였고, Vycor 유리에 비하여 알칼리 용액에 대한 내식성이 우수하였다.

ABSTRACT

Fibers of $\text{ZrO}_2-\text{SiO}_2$ system were prepared from the hydrolysis and condensation of $\text{Si}(\text{OC}_2\text{H}_5)_4$ and $\text{Zr}(\text{O}-n\text{C}_3\text{H}_7)_4$ with different $\text{H}_2\text{O}/\text{alkoxide}$ molar ratios. It was found that fibers could be drawn in the viscosity range of 1~100 poise from HCl catalyzed solutions with lower water contents of the mole ratio $\text{H}_2\text{O}/\text{alkoxide}$, $r \leq 2$. The fibrous gels were converted into the corresponding oxide glass fibers by heating at 800°C. Mechanical test was performed on E, A and 20 ZrO_2 -80 SiO_2 glass fibers reinforced cement in order to investigate the flexural strength. The flexural strength value of 20 ZrO_2 -80 SiO_2 glass fibers reinforced cement was greater than those of E and A. The chemical durability of the fibers in alkaline solutions increased with ZrO_2 content. The weight loss due to the corrosion by 2N-NaOH solutions at 25°C for 160 hours was about $0.31 \times 10^{-2} \text{ mg/dm}^2$ for the 20 ZrO_2 -80 SiO_2 glass fibers, which was superior to that of Vycor glass.

1. 서 론

시멘트의 기계적 강도 및 내충격성을 향상시키기 위하여 carbon steel이나 nylon, polypropylene 같은 polymer 및 유리섬유가 시멘트의 보강재료로 사용되고 있다¹⁾. 그러나, 시멘트 matrix 내에서 steel은 그 자체의 중량과 부식이 문제되며, polymer는 매우 낮은 elastic moduli 및 가연성이 문제로 된다. 또한, 유리섬유는 hydrating 시멘트의 알칼리 분위기에 안정치 못하다는 단점을 갖고 있어, 유리섬유에 내알칼리성을 부여하기 위한 시도가 진행되었다.

기계적 강도, 파괴인성 및 화학적 내구성이 우수한

성질을 지닌 ZrO_2 는 결정화 유리의 핵생성첨가제로서, 또 GRC(Glass Reinforced Cement)의 발전에 따라 내알칼리성을 향상시키기 위한 유리섬유의 중요한 성분으로 사용되어 왔다²⁾.

Majumdar와 Ryder³⁾는 유리섬유의 알칼리에 대한 내구성을 향상시키기 위하여 ZrO_2 를 함유한 G20 유리를 제조하였다. G20 유리는 A 및 E 유리에 비해 내알칼리성이 매우 우수하였으나, ZrO_2 의 높은 용점과 냉각 중부분 결정화로 인하여 용융법으로는 ZrO_2 를 20 wt% 이상 함유한 유리의 제조가 곤란하여 더 이상의 알칼리에 대한 내구성을 기대하기가 불가능하였다⁴⁾.

그러나, 1971년 Dislich⁵⁾가 금속알록사이드를 원료로

하여 다성분계 유리를 저온합성한 후, 비교적 저온에서 다량의 ZrO_2 를 함유한 고순도의 균질한 세라믹스의 제조가 가능하게 되었다. 졸-겔법에 의한 ZrO_2-SiO_2 계 유리 및 세라믹스 제조에 관한 논문으로는 Kamiya⁵⁾ 등의 33 wt% ZrO_2 를 함유한 유리섬유 제조, Nogami⁶⁾의 ZrO_2-SiO_2 유리 제조, Nogami와 Moriya⁷⁾에 의한 40 mol% ZrO_2 를 함유한 유리막 제조가 있으나, 졸-겔법에 의한 ZrO_2-SiO_2 계 유리섬유에 관한 연구는 Kamiya 외에는 구체적인 연구 논문이 아직 발표되고 있지 않은 실정이다.

따라서, 본 논문에서는 이전의 연구⁸⁻¹⁰⁾ 중 $Si(OC_2H_5)_4$ 용액과 $Zr(O-nC_3H_7)_4$ 혼합용액의 rheological properties 및 반응인자에 따른 젤섬유의 인상 조건¹¹⁾을 기초로 하여, 다량의 ZrO_2 를 함유한 ZrO_2-SiO_2 계 유리섬유를 제조하여 SiO_2 유리섬유의 가장 큰 취약점인 내알칼리성을 향상시키고 시멘트-유리섬유 혼합시편의 기체적 성질의 향상을 목적으로 하였다.

2. 실험방법

2.1. 유리섬유의 제조

2.1.1. 용액의 제조

용액의 재조는 ZrO_2 의 함량을 10~30 mol%로 변화하며 이전의 보문¹²⁾과 같이 가수분해 속도가 느린 $Si(OC_2H_5)_4$ (Tetraethyl Orthosilicate)의 가수분해를 먼저 행한 후, $Zr(O-nC_3H_7)_4$ 를 첨가하여 가수분해를 행하였다. TEOS의 가수분해시 용액의 조성을 TEOS : H_2O : C_2H_5OH 비를 1 : 1 : 1(molar ratio)의 기본조성으로 교반을 행하며 TEOS의 부분가수분해를 마친 후, 청량된 $Zr(O-nC_3H_7)_4$ 를 첨가하고 교반을 행하며 잔여량의 물과 촉매 및 알콜을 첨가하여 혼합알록사이드용액의 가수분해를 행하였다. 제조한 졸용액을 용기에 옮겨 담고 용기의 cover를 제거한 후, 30°C로 유지하여 가수분해와 중합반응을 진행시켰다.

2.1.2. 젤섬유의 인상

가수분해와 중합반응의 진행 중, 졸용액으로부터 젤섬유를 인상하기 위하여 지름이 3 mm인 유리봉을 졸용액에 담가 손으로 인상하였다. 이 작업을 졸용액의 젤화가 진행되어 젤리 상태의 젤로 변화할 때까지 반복하여 행하였다.

2.1.3. 건조젤의 열분석

제조가 완료된 젤섬유를 분쇄하여 분말화한 후, 젤 내에 남아있는 미반응 물질의 정량화와 열처리 계획을 수립하고자 TG-DTA(Rigaku, PTC-10, Japan)를 사용하여 상온에서 800°C 까지 표준시료로 $\alpha-Al_2O_3$ 를 이용하여

10°C/min의 승온속도로 가열하였다.

2.1.4. 젤섬유의 열처리

얻어진 젤섬유를 유리화 하기 위하여 TG-DTA 결과를 근거로 하여 30°C/h의 속도로 150, 250, 550 및 700°C에서 일정시간을 유지하여 800°C 까지 열처리를 하였다.

2.2. 젤섬유의 분석

2.2.1. 젤섬유의 IR분석

젤섬유를 분쇄하여 얻어진 분말을 물의 첨가량 및 각각의 온도에서 열처리하여 2시간 유지한 후, 젤 내에 존재하는 미반응 유기물질과 구조적 변화를 조사하기 위하여 IR분광분석장치(Perkin Elmer A30, U.S.A)를 사용하여 KBr법으로 200 cm⁻¹~4000 cm⁻¹ 범위에서 흡수스펙트럼을 관찰하였다.

2.2.2. 젤섬유의 X-선 회절분석

젤섬유의 열처리 온도에 따른 구조적 변화를 관찰하기 위하여 X선 회절분석장치(Philips, PW1710, Holland)를 사용하여 CuKa, Ni filter, 40 Kv, 30 mA의 조건으로 측정하였다.

2.2.3. 유리섬유의 표면관찰

유리섬유의 표면을 관찰하기 위하여 SEM(Akashi, SS 130, Japan) 관찰을 행하였다.

2.2.4. 젤유리섬유의 밀도 측정

겔섬유를 각각의 온도에서 열처리한 시료의 밀도를 Archimedes법을 이용하여 측정하였다.

2.3. 유리섬유의 곡강도 측정

곡강도 측정을 위하여 시멘트 paste(portland 325 w/c=0.45)와 10 vol%(유리섬유/시멘트)의 유리섬유(E, A and 20ZrO₂-80SiO₂)를 10 mm로 절단 후, 교반기를 이용하여 혼합한 후, 10×10×50 mm³의 polypropylene 몰드에 넣어 성형하였다. 이렇게 제조된 시멘트-유리섬유의 혼합시편을 몰드에서 꺼내 25°C의 수조(98~100% relative humidity)에 담가 30일, 60일, 90일 및 120일간 유지한 후, 곡강도를 측정하였다 3-point 곡강도의 측정은 bar 형태의 시편을 computer-controlled servo hydraulic dynamic testing machine(MTS 180, U.S.A)을 이용하여 변위 제어하에서 0.5 mm/min의 cross head speed로 측정하여 다음 식을 이용하여 산출하였다.

$$\sigma_{3\delta} = \frac{3PL}{2bW^2}$$

여기서, $\sigma_{3\delta}$ 는 3-점 곡강도, P는 최대 하중, L은 하부 지지점간 거리(20 mm), b는 시편의 두께 및 W는 시편의

폭이다.

2.4. 유리섬유의 내알칼리성 측정

섬유의 인상 후 고화하여 겔화한 시료 1g을 800°C에서 열처리하여 진공펌프로 털기사킨 후, Vycor 유리와 함께 100 mL의 2N-NaOH 수용액에 침적하여 25°C로 유지된 전조기에 넣어 일정시간 유지하였다. 그 후, 이 시료를 증류수로 수세하여 수증에서 그 무게를 측정하였으며, 이 조작을 반복하여 얻어진 시료의 무게 변화를 조사하여 내알칼리성의 척도로 하였다.

3. 결과 및 고찰

3.1. 젤섬유의 인상

겔섬유의 인상 조건은 이전의 연구¹⁵⁾에서, 혼합알콕시드용액의 절도가 10 poise, 촉매로서 0.3 mol의 HCl, 용액에 첨가한 물이 소량일 때($r=1, 2$) 섬유의 인상이 가능하였으며, 촉매의 종류와 관계없이 첨가한 물의 양이 다량일 때는 가수분해와 중합반응 도중 섬유의 인상이 불가능하며 그대로 고화하여 괴상의 젤로 변화하였다.

TMS화한 중합체를 함유한 벤젠용액의 환원점도(η_{sp}/C)와 농도(C)의 관계에서 섬유의 인상이 가능한 용액의 환원점도는 고분자의 농도에 의존하였으나, 섬유의 인상이 불가능한 용액의 환원점도는 그 용액 중에 함유된 고분자의 농도에 의존하지 않음을 알 수 있었다.

친성점도(η) 및 수평균분자량(M_n)의 관계로부터, 즉 $[\eta] = KMn^a$, 촉매로 HCl을 물의 첨가량이 1, 2 mol인 용액의 b 값은 0.56과 0.81으로 혼합용액 중에는 사슬상 또는 선상의 고분자가 존재하여 겔화 도중 섬유의 인상이 가능하고, 물의 첨가량이 4 mol인 용액의 a 값은 반응조기에는 0.51로서 선상 또는 사슬상의 고분자가 존재하

다가 반응말기에는 0.41로 3차원 망목의 고분자나 구상의 입자가 존재하여 괴상의 젤로 변화하였다. 물의 첨가량이 8 mol인 경우에는 a 의 값이 0.35로서 4 mol의 물을 첨가하였을 때와 마찬가지로 괴상의 젤로 고화하였다.

즉, 0.3 mol의 HCl, 물의 첨가량이 2 mol 이하와 혼합용액의 절도가 10 poise 정도일 때 약 50 cm 길이의 젤섬유를 인상할 수 있었다. 본 실험에서 제조한 20ZrO₂-80SiO₂겔 섬유의 사진을 Fig. 1에 보인다.

3.2. 열분석 및 유리화를 위한 열처리

촉매로 0.3 mol의 HCl을 사용하고 물의 첨가량이 2 mol인 젤섬유를 분쇄하여 분말로 한 후, 친류유기물 및 OH기의 제거와 유리화까지의 상전이를 조사하고자 10 °C/min의 승온속도로 800°C 까지 가열한 TG-DTA곡선을 Fig. 2에 보인다.

DTA곡선 상에서 100°C 부근의 흡열파크는 젤 내에 물리적으로 흡착되어 있는 수분의 증발에 의한 것이며, 250°C ~ 550°C 범위에서의 발열파크는 젤 내에 존재하는 유기물의 연소에 의한 것이다. TGA의 곡선에서는 150 °C 까지 수분과 용매의 증발에 의한 급격한 중량감소가 나타나며, 250°C ~ 550°C 사이에서는 유기물의 연소에 의한 중량감소가 나타나고, 이 온도 이상에서도 잔존하는 미량의 유기물의 제거에 의하여 미소한 중량감소를 보인다. 또한, 안정된 silanol기로부터 물이 빠져나와 siloxane결합을 형성할 때, 아래 식과 같이 OH기의 냉출에



Fig. 1. Photograph of 20ZrO₂-80SiO₂ gel fibers.

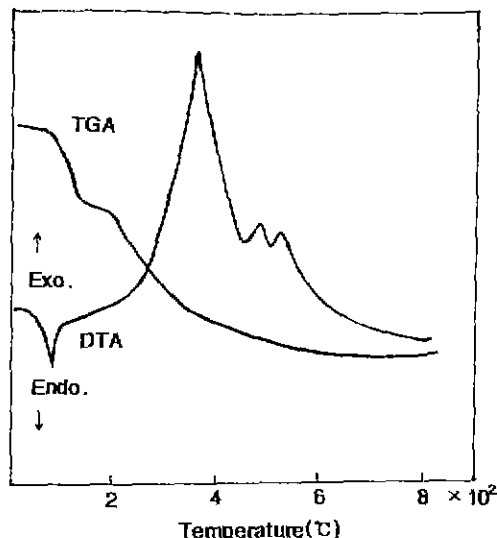


Fig. 2. The TG-DTA curves of 20ZrO₂-80SiO₂ gel with the mole ratios of H₂O/alkoxide=2 and HCl/alkoxide=0.3.

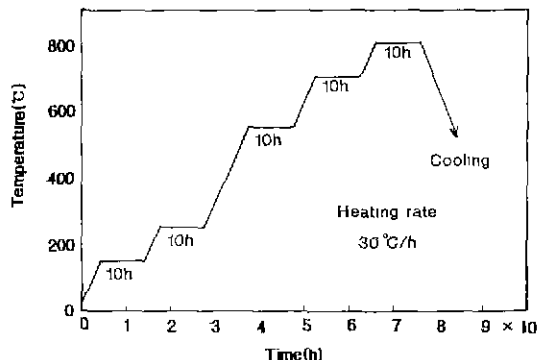
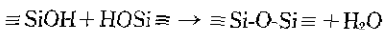


Fig. 3. Heat treatment schedule of gel fiber.

Table 1. The Variation of Bulk and Apparent Density of The 20ZrO₂-80SiO₂ Gel Heated at Various Temperatures

Temperature (°C)	Bulk density (g/cm ³)	Apparent density (g/cm ³)
150	1.54	2.64
300	1.62	2.63
600	2.12	2.71
700	2.46	2.73
800	2.72	2.74

의하여 지속적인 충량감소를 보인다.

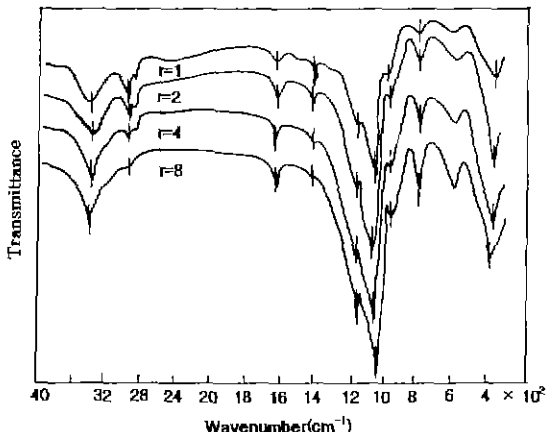


겔 섬유를 유리화하기 위한 열처리 계획을 Fig. 3에 보인다. 30°C/h의 승온 속도로 800°C 까지 단계적인 열처리를 행하였다. 150°C에서의 유지시간은 젤의 미세기공에 부착되어 있는 수분과 용매를 제거하기 위함이고, 250°C와 550°C에서의 유지시간은 각각 젤 내에 잔류하여 있는 유기물의 제거를 위함이다. 700°C와 800°C에서의 유지시간은 젤 내에 존재하여 있는 세공의 제거를 촉진하여 젤의 골격을 강화하기 위함이다.

3.3. 젤 섬유의 분석

3.3.1. 열처리 온도에 따른 젤의 물리적 성질 변화

Table 1에 본 실험에서 얻어진 20ZrO₂-80SiO₂ 젤 섬유의 열처리 온도에 따른 부피비중(bulk density)과 젤 보기비중(apparent density)의 변화를 보인다. 열처리 온도가 증가함에 따라 부피비중의 값은 증가하였지만, 젤 보기비중의 값은 큰 변화를 보이지 않았으나 800°C에서 열처리하여 얻은 부피비중의 값과 거의 일치하였다. 젤 보기비중은 젤의 기질 내부 구조와 폐기공에의 유무에

Fig. 4. The IR spectra of 20ZrO₂-80SiO₂ gels with various water content after heated at 150°C (the mole ratio of HCl/alkoxide=0.3).

의존하는 값이나 젤 내에는 폐기공이 함유되어 있지 않고, IR분석 결과 저온에서 열처리한 젤의 구조가 본질적으로 유리의 구조와 동등하기 때문이다^[13]. 또한, 열처리 온도가 증가함에 따라 젤의 표면적이 감소하고 잔류기공의 제거로 인한 치밀화 때문이다.

3.3.2. IR분광분석

0.3 mol의 HCl을 사용하였을 때 물의 첨가량 변화에 따른 150°C에서의 건조 젤의 IR분광분석을 Fig. 4에 보인다. 물의 첨가량이 증가할수록 Si-O 결합에 의한 1200, 1080, 800과 460 cm⁻¹의 흡수대와 Si-OH 결합에 의한 3420, 1620, 960 cm⁻¹의 흡수대는 증가하였으며, C-H 결합에 의한 1460과 2970 cm⁻¹의 흡수대는 감소하였다. 이는 물의 첨가량이 증가할수록 젤 내에 잔존하는 유기물이 감소하고 중합이 더욱 진행되어 Si-O 결합량이 증가하여 SiO₂의 중합화가 형성되기 때문이다^[6]. 그러나, 본 실험에서는 물의 첨가량이 2 mol 이상인 경우에 졸용액은 섬유의 인상이 불가능하고 그대로 고화하여 과상의 젤로 변화하나, 섬유의 인상이 가능한 용액($r \leq 2$)내에는 미반응의 유기물이 다량으로 존재하여 유리화를 위한 열처리시 탄화에 의한 흑화 및 밀포(bloating)현상이 나타나기 때문에 세심한 주의가 요구되었다.

열처리온도에 따른 IR분광분석의 결과를 Fig. 5에 보인다. O-H에 의한 3420, 1620 및 960 cm⁻¹의 흡수대는 열처리온도가 증가함에 따라 OH기가 제거되어 흡수대의 세기가 감소하였으나 700°C까지 가열한 시료에 미량 남아있는 것은 Si-OH기의 다축합 반응이 완전히 진행되지 않아 이로부터 생성된 축합수가 젤의 내부에 미량 존재하기 때문이다. Si-O 결합에 의한 1080, 800 및 460

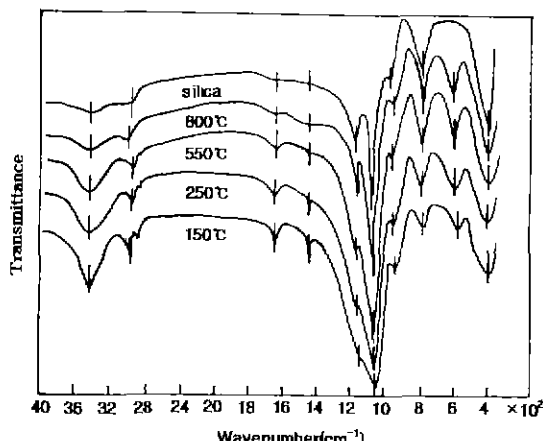


Fig. 5. The IR spectra of a $20\text{ZrO}_2\text{-}80\text{SiO}_2$ gel with heated at various temperatures obtained from the mole ratios of $\text{H}_2\text{O}/\text{alkoxide}=2$ and $\text{HCl}/\text{alkoxide}=0.3$ and silica glass fiber.

cm^{-1} 의 흡수대는 온도가 증가함에 따라 축합반응에 의해 젤 내에 Si-O 생성량이 증가하여 이를 흡수대의 세기가 점점 증가하였다.

Silica 유리섬유와 $20\text{ZrO}_2\text{-}80\text{SiO}_2$ 젤 유리섬유의 IR흡수대를 비교하면 silica 젤에는 존재하지 않던 600 cm^{-1} 부근의 흡수대가 나타나는데, 이는 Zr^{+4} 이온이 SiO_2 그룹의 망뚝구조에 침입형으로 존재하여 나타나는 흡수대이다. 따라서, 젤 내에는 Si-O 결합 뿐만 아니라 Zr-O 결합도 존재하여 내일칼리성을 나타나게 된다⁶⁾.

일반적으로 금속알록사이드를 이용하여 만든 젤을 가열하면 저온에서도 젤의 내부는 이미 유리 구조와 동등한 구조를 형성하므로, 800°C 로 가열하여 제조한 $20\text{ZrO}_2\text{-}80\text{SiO}_2$ 유리섬유는 용융법으로 제조한 silica 유리섬유와 동등한 구조를 이루고 있음을 알 수 있다.

3.3.3. X-선 회절분석

겔섬유의 열처리온도에 따른 XRD 분석 결과를 Fig. 6에 보인다. XRD 분석 결과 150°C , 600°C 및 800°C 로 열처리한 시료 모두 결정화로 인한 피크는 보이지 않으므로 이를 모두 비정질임을 알 수 있었다.

3.3.4. 미세구조 관찰

용액으로부터 인상한 젤섬유의 열처리시, 잔존 유기물에 의한 육화 및 발포현상과 수축에 의한 균열을 방지하기 위하여 $30^\circ\text{C}/\text{h}$ 의 승온속도로 800°C 로 열처리한 유리섬유의 SEM 사진을 Fig. 7에 보인다. 점성의 젤은 유리막대로 인상하였기 때문에 표면은 매끄럽고 균열이 없음을 확인할 수 있었다.

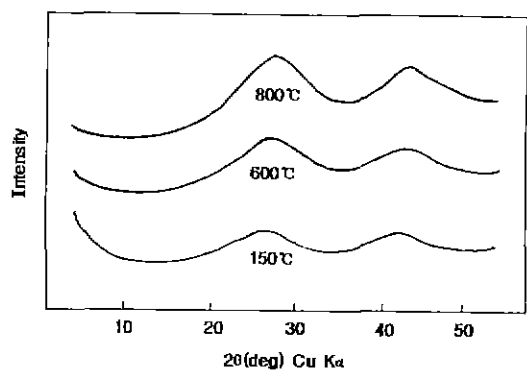


Fig. 6. X-ray diffraction patterns of a $20\text{ZrO}_2\text{-}80\text{SiO}_2$ gel with heated at various temperature obtained from the mole ratios of $\text{H}_2\text{O}/\text{alkoxide}=2$, and $\text{HCl}/\text{alkoxide}=0.3$.

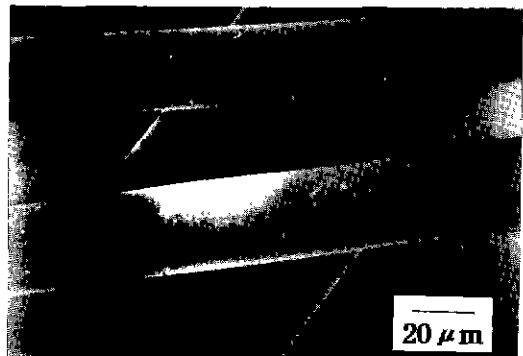


Fig. 7. SEM micrograph of $20\text{ZrO}_2\text{-}80\text{SiO}_2$ gel glass fiber heated at 800°C .

3.4. 유리섬유-시멘트 혼합시편의 곡강도

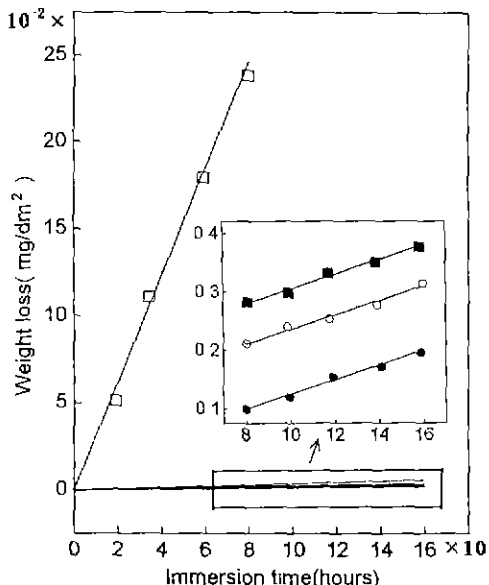
유리섬유-시멘트혼합시편의 곡강도의 값을 Table 2에 보인다. 본 실험에서 제조한 $20\text{ZrO}_2\text{-}80\text{SiO}_2$ 유리섬유를 첨가하여 합성한 혼합시편의 경우 25°C 의 수조에서 장시간 유지하여도 그 기계적 강도의 값은 서서히 증가하였다. 이는 $20\text{ZrO}_2\text{-}80\text{SiO}_2$ 젤 유리섬유가 시멘트의 알칼리 수용액에 대하여 내식성이 강하며, 또한 시멘트의 경화에 의하여 곡강도의 값이 증가하였다¹⁰⁾. 반면, E-유리섬유나 A-유리섬유를 첨가하여 혼합한 시편의 곡강도의 값은 첨가한 유리섬유가 알칼리에 의해 침식되어 곡강도의 값은 $20\text{ZrO}_2\text{-}80\text{SiO}_2$ 유리섬유를 첨가한 경우에 비하여 감소하였다.

3.5. 유리섬유의 내알칼리성 측정

Fig. 8에 ZrO_2 의 함량 변화에 따른 $\text{ZrO}_2\text{-SiO}_2$ 계 유리와

Table 2. Flexural Strength of Cement Paste Samples Reinforced with Fiber Strands after Ageing in Water at 25°C and 30 days, 60 days, 90 days and 120 days

Samplex	Flexural Strength (MPa)	30 days	60 days	90 days	120 days
Reinforced with 20ZrO ₂ -80SiO ₂ fiber	12.98	13.74	14.83	15.39	
Reinforced with E glass fiber	11.93	11.75	11.23	10.39	
Reinforced with A glass fiber	8.15	8.0	7.69	7.45	

**Fig. 8.** Weight loss of Vycor glass and ZrO₂ containing glass exposed 2N-NaOH solution at 25°C (□: Vycor glass, ■: 10ZrO₂-90SiO₂, ○: 20ZrO₂-80SiO₂, ●: 30ZrO₂-70SiO₂).

Vycor 유리의 25°C, 2N-NaOH 수용액에서의 침식량과 침식시간과의 관계를 보인다. ZrO₂의 함량이 전혀 없는 Vycor 유리의 침식속도는 매우 빨라 알칼리에 대한 내식성이 전혀 없음이 확인되었다. 10 mol% 이상의 ZrO₂를 함유한 유리는 수일간 침적시킨 후에도 거의 중량감소가 일어나지 않아 ZrO₂가 내알칼리성의 향상에 우수한 효과가 있음이 확인되었으며, ZrO₂ 첨가량이 증가할수록 알칼리에 대한 내구성이 향상되었다.

ZrO₂를 함유한 유리의 Zr⁺⁴이온은 silica 망복구조의 공극에 침입하여 8개의 산소이온에 둘러싸인 충전도가 높은 유리구조를 형성한다. ZrO₂를 함유한 유리를 알칼리 용액에 침적시키면 그 표면에 Zr이 풍부한 피막이 형성되고, 이 피막이 용액 또는 유리로부터의 이온의 이동을 방해하여 유리의 내알칼리성을 향상시키기 때문이다¹⁷⁾.

4. 결 론

Si(OC₂H₅)₄와 Zr(O-nC₃H₇)₄ 혼합용액의 가수분해와 종합반응 중 젤섬유의 인상 조건을 조사하여 ZrO₂-SiO₂계 유리섬유를 제조한 후, 기계적 성질 및 내알칼리성을 측정한 결과 다음과 같은 결론을 얻었다.

(1) 촉매로서 HCl, 물의 첨가량이 2 mol 이하, 용액의 점도가 10 poise에 도달하였을 때 젤섬유를 손으로 인상하여 30°C/h의 승온속도로 150, 250, 550 및 700°C에서 젤 내에 존재하는 수분 및 유기물과 OH기의 제거를 위하여 10h를 유지하여 800°C로 열처리하여 ZrO₂-SiO₂계 유리섬유를 제조하였다.

(2) X-선 회절과 IR분광분석 결과 800°C에서 열처리하여 얻어진 유리섬유는 비정질이며 용융법으로 제조한 실리카 유리섬유와 구조적으로 동등하였다.

(3) 유리섬유-시멘트 혼합시편의 곡강도 측정 결과 20ZrO₂-80SiO₂ 유리섬유를 첨가한 경우, E 및 A 유리섬유를 첨가한 경우에 비하여 그 값이 50~100% 향상되었으며, ZrO₂-SiO₂ 유리와 Vycor 유리를 2N-NaOH 용액에 침적하여 내알칼리성을 측정한 결과, Vycor 유리에 비하여 ZrO₂를 함유한 유리가 알칼리에 대한 내식성이 우수하였다. 이는 Zr⁺⁴이온의 도입으로 유리를 알칼리 용액에 침적시키면 그 표면에 Zr이 풍부한 피막이 형성되고, 이 피막이 용액 또는 유리로부터의 이온의 이동을 방해하여 유리의 내알칼리성을 향상시키기 때문이다.

감사의 글

본 연구는 1993년도 교육부 신소재분야 연구지원(Ministry of Education Research Fund for Advanced Materials in 1993)에 의하여 이루어졌다.

REFERENCES

- A.J. Majumdar and J.F. Ryder, "Glass Fiber Reinfor-

- cement of Cement Product," *Glass Technology*, **9**(3), 78-84 (1968).
2. H.H. Zender, H. Leistner and H.R. Searle, "ZrO₂ Materials for Application in the Ceramic Industry," *Interceram*, **39**(6), 33-36 (1990).
 3. 神谷寛一, 黄尾俊信, 岩中雅文, 坂井章人, 作花濟夫, "ジル-ゲル法で調製した ZrO₂-SiO₂ ガラスの性質," ジルコニアセラミックス, **5**, 39-52 (1987).
 4. H. Dislich, "New Routes to Multicomponent Oxide Glass," *Angewandte Chemie, Int. Ed.*, **10**, 363-370 (1971).
 5. K. Kamiya and S. Sakka, "Preparation of Glass Fibers of the ZrO₂-SiO₂ and Na₂O-ZrO₂-SiO₂ Systems from Metal Alkoxides and Their Resistance to Alkaline Solution," *J Mater Sci.*, **15**, 1765-1771 (1980).
 6. M. Nogami, "Glass Preparation of the ZrO₂-SiO₂ System by the Sol-Gel Process from Metal Alkoxides," *J Non-Cryst Sol.*, **69**, 415-423 (1985).
 7. M. Nogami and Y. Moriya, "On the Properties of Non-crystalline Films," *Yogyo-Kyokaishi*, **85**, 448-452 (1987).
 8. D.Y. Shin and S.M. Han, "Glass Preparation ZrO₂-SiO₂ System by the Sol-Gel Method," *J Kor Ceram Soc.*, **27**(5), 668-676 (1990).
 9. D.Y. Shin and S.M. Han, "Hydrolysis of ZrO₂-SiO₂ System by the Sol-Gel Method," *J. Kor. Ceram. Soc.*, **28**(8), 635-639 (1991).
 10. D.Y. Shin, S.M. Han and J.M. Seo, "Preparation of Silica Glass Using TEMOS Solution," *J. Kor. Ceram. Soc.*, **28**(4), 324-328 (1991).
 11. D.Y. Shin and S.M. Han, "Porous Alkali Resistance Glass Preparation of ZrO₂-SiO₂ System by Sol-Gel Method," *J. Kor. Ceram. Soc.*, **29**(1), 35-40 (1992).
 12. J.M. Seo, S.I. Choi, D.Y. Shin and S.M. Han, "The Preparation of Porous Silica Glass by the Sol-Gel Method: Change of Properties of Gel by Addition of Formamide," *J. Kor. Ceram. Soc.*, **30**(3), 169-174 (1993).
 13. D.Y. Shin and S.M. Han, "Control of Pore Characteristics of Porous Glass in the ZrO₂-SiO₂ System Prepared by the Sol-Gel Method," *J. Kor. Ceram. Soc.*, **30**(6), 485-491 (1993).
 14. S.I. Choi, D.Y. Shin, S.M. Han and S.B. Lee, "Effect of Organics Substances in the Preparation of Porous Silica Glass by the Sol-Gel Process," *J. Kor. Ceram. Soc.*, **30**(10), 838-844 (1993).
 15. D.Y. Shin and S.M. Han, "The Shape of Polymers Resulted condensation in the Mixed Si(OC₂H₅)₄ and Zr(O-nC₃H₇)₄ Solutions," *J. Kor. Ceram. Soc.*, **31**(2), 220-226 (1994).
 16. A. Maddalena, M. Guglielmi, V. Gottardi and A. Racanelli, "Interactions with Portland Cement Paste of Glass Fibers Coated by the Sol-Gel Method," *J. Non-Crystal. Sol.*, **82**, 356-365 (1986).
 17. 野上正行, "金属アルコキシドのジル-ゲル法による ZrO₂-SiO₂系 多孔質ガラスの作製とその耐アルカリ性," 日本窯業協会誌, **93**(4), 195-200 (1985).